

СОСТАВНЫЕ СОБЫТИЯ - ПОСЛЕДОВАТЕЛЬНОСТИ СЛУЧАЙНЫХ БИНАРНЫХ СОБЫТИЙ В I –МЕРНЫХ ПРОСТРАНСТВАХ, ИХ МОДЕЛИ И МАРКЕРЫ

Филатов О.В. Email: Filatov17161@scientifictext.ru

Филатов Олег Владимирович - инженер-программист,
ЗАО «Научно технический центр «Модуль», г. Москва

Аннотация: дальнейшее развитие «Комбинаторики длинных последовательностей» привело к изучению свойств стохастической случайности для монотонных серий в многомерных пространствах; оказалось, что основные формулы описывающие структуру одномерной случайной пос-ти являются частными решениями многомерной производящей функции; исследовано распределение серий случайных бинарных событий в окрестностях многомерных точек и дана формула, описывающая их распределение по пространственным осям; построены одномерные модели, в которых объединены серии бинарных событий из измерений многомерного пространства; предложено дробное описание физического трёхмерного пространства - времени, которое позволило применить формулы «Комбинаторики длинных последовательностей» в многомерных пространствах; полученные формулы разработаны на основе результатов компьютерных экспериментов и моделирования.

Ключевые слова: комбинаторика, «Комбинаторика длинных последовательностей», КДП, составные события, СС, эл, случайная бинарная последовательность, СБП, бинарные события, алгоритм.

COMPOSITE EVENTS - SEQUENCES OF RANDOM BINARY EVENTS IN I - DIMENSIONAL SPACES, THEIR MODELS AND MARKERS Filatov O.V.

Filatov Oleg Vladimirovich - Software Engineer,
SCIENTIFIC AND TECHNICAL CENTER «МОДУЛЬ», MOSCOW

Abstract: further development of "Combinatorics of Long Sequences" led to the study of the properties of stochastic randomness for monotone series in multidimensional spaces; it turned out that the basic formulas describing the structure of a one-dimensional random post are particular solutions of a multidimensional generating function; the distribution of a series of random binary events in the vicinity of multidimensional points is investigated and a formula describing their distribution along the spatial axes is given; one-dimensional models have been built, in which a series of binary events from measurements of a multidimensional space are combined; a fractional description of the physical three-dimensional space-time is proposed, which made it possible to apply the formulas "Combinatorics of long sequences" in multidimensional spaces; the obtained formulas are developed on the basis of the results of computer experiments and modeling.

Keywords: combinatorics, "Combinatorics of long sequences", KDP, compound event, SS, el, random binary sequence, SBP, binary events, algorithm.

УДК: «51»

Сокращения: ТВ – теория вероятности; КДП – «Комбинаторика длинных последовательностей»; ПА - поисковый алгоритм; СБС – случайное бинарное событие; СБП – случайная бинарная последовательность; эл – элементарный член СБП; пос-ть – последовательность.

Введение

Прикладным математикам очевидно принципиальное физическое различие между теоретическим рассмотрением вероятностного процесса на временной оси и созданием работающего алгоритма, который обеспечивает забор данных размещённых в хронологическом порядке. Это различие фундаментально, оно игнорируется теоретическими, вероятностными школами. В статье сделана попытка показать не замеченные теоретиками особенности вероятностных потоков, но которые постоянно работают в реальных разработках. Заметим, что идеи прикладных математиков: Р. Мизеса, С. Голомба, К. Шеннона стали фундаментом информатики и ТВ.

В предыдущих работах описывалось, что любая последовательность случайных событий (например, результаты выпадений монеты) имеет пространственное представление и описывается в КДП формулами геометрической вероятности. В этой работе продолжена геометризация вероятностных бинарных («0», «1») потоков, и рассмотрено распределение цепочек бинарных событий равных величин (либо все «0», либо все «1»), расположенных на осях многомерного i – пространства.

Каждая координатная ось имеет положительное и отрицательное направление, что обычно изображают нулевой точкой и отрицательными и положительными значениями слева и справа от неё:

«...; -3; -2; -1; 0; 1; 2; 3; ...». В статье предлагается разделять любую координатную ось на отрицательный «- i » и положительный «+ i » луч. Тогда любое измерение (координатная ось), будет образована из двух i измерений. На практике часто встречаются физические процессы, потоки, в которых приходится иметь дело только с половинными измерениями, то есть координатную ось такого процесса содержит одно i направление. Примером таких процессов являются потоки событий во времени, в частности, выпадение значений сторон монеты – это однонаправленный временной поток, физически для нас время - это не двунаправленная ось ($2i$), для нас физическое время – это луч ($1i$); физическая энтропия - формально то же является процессом в лучевом (половинном, не целом) пространстве.

Представим бинарные события (со значениями «0», «1») в виде точек на координатных осях i – мерного пространства. В такой модели начало координат – точка, существующая во всех i измерениях, из неё выходят лучи, каждый из лучей является положительной или отрицательной частью координатной оси. Хотя точка начала координат (узел направлений для случайных бинарных событий - СБС), существует во всех i – измерениях, но сами СБС события из-за своей случайной природы могут не существовать на некоторых направлениях i – мерного пространства.

Рассмотрение i – пространств начнём с одномерного луча (направления), содержащего пост-ть случайных бинарных событий (СБС).

Основная часть

Рассмотрим происходящий процесс $F(0.5)$ - подбрасывания монеты и записи выпадения её сторон, который длится достаточно долго, рис.1. Зафиксируем момент времени t_k , в котором выпала бинарная величина e_k (либо «0», либо «1»). Поскольку само время не наблюдаемо, то результаты выпадения монеты до и после t_k образуют одномерные полупространства $F(0.5)$, с началом в точке t_k . Можно сказать, что $F(0.5)$ строго упорядоченно во времени, порядковый номер нового события последовательно, увеличивается: t_{k+1} (уменьшается: t_{k-1}) на единицу.

Зафиксируем некоторый фрагмент $F(0.5)$ в границах $[F(0.5)] = [e_t, e_{t+6}] = [e_k, e_{k+6}]$, рис.1, «Алгоритм $B(i2)$ », обозначив это закрытыми квадратными скобками. Члены $[F(0.5)]$ обладают неизменными величинами e и номерами: k и t . При анализе фрагмента $[F(0.5)]$ мы имеем произвольный доступ к любому его члену: $t_k \leftrightarrow e_k$, в любом порядке, то есть члены $[F(0.5)]$ существуют вне времени в одномерном пространстве. Возможность доступа к любому члену $[F(0.5)]$ возникает в физической модели, в которой прекращено действие физического времени для $[F(0.5)]$. В этом полном (двунаправленном) одномерном пространстве без времени работает геометрический набор составных событий [5,6], рис.1, «Алгоритм $G(i2)$ ».

Пусть: $[F(0.5)] = \langle\langle 001001 \rangle\rangle$, его члены были последовательно накоплены. Одномерное пространство, в котором нет физического времени, позволяет работать с фрагментом $[F(0.5)]$ как с геометрическим объектом. При этом структурные свойства пост-ти $F(0.5)$ и фрагмента $[F(0.5)]$ зависят от способа поиска значений их членов [1-6]. Поток $F(0.5)$, рис.1 – это классическая модель выпадений сторон монеты («0», «1»). При применении геометрического алгоритма $G(i2)$, для предсказания величин $[F(0.5)]$, существует эффект локальной потери их непредсказуемости [7], то есть, свойства и структура СБП зависит от способа просмотра СБП [5-7]. Укоренилось восприятие СБП в виде: «0001001» (рис.1: «Алгоритм $B(i1)$ »), из-за физико-физиологических и образовательных факторов, но существуют алгоритмы в рамках которых СБП воспринимается иначе.

Структура СБП при отборе её членов по алгоритму $B(i1)$ дана в строке $B(i1)_3$ таблицы 1. Алгоритм поиска СБС - $B(i1)$ приводит к структуре СБП, которая в КДП определена ф.1.1, и которую ошибочно считают единственной существующей структурой СБП:

$${}^nS = \frac{N}{2^{n+1}} \quad \text{Ф.1.1}$$

Где: nS - численности серий из n нулей или единиц: «0»; «1»; «00»; «11»; «000»; ... [1 – 4]; N - число элементарных событий СБП; n – длина nS [1 – 4].

Структура СБП при отборе её членов по алгоритму $G(i2)$ дана в таблице 1, в строке $G(i2)_T$ (объединена с $B(i2)_T$ в одну). При поиске алгоритмом $G(i2)$ структура СБП имеет распределение описываемое ф.1.2, [1,2,5,6]:

$${}^n_z S = \frac{N}{k} \cdot \frac{n - z + 1}{2^{n+1}} \quad \text{Ф.1.2}$$

Где: ${}^n_z S$ - численности составных событий в СБП выявляемые методом зондового исследования; z – ширина исследовательского зонда (в элементарных событиях); n – число элементарных событий (эл) в ${}^n_z S$.

Как будет показано ниже, ф.1.1 и ф.1.2 получены из ф.2.1, при подстановке в ф.2.1 параметров поиска $B(i1)$ и $G(i2)$.

Описание алгоритма $G(i2)$. Геометрический поиск ${}^n_z S$ - составных событий (СС) [1,2,6,7] проводится по алгоритму $G(i2)$, рис.1. $G(i2)$ определяет значение e_k случайного члена k в $[F(0.5)]$, затем последовательно вскрывает каждый член слева до обнаружения первого неравного e_k значения (первая инверсия: $i = 1$), затем последовательно вскрывает каждый член справа от e_k , до обнаружения второго значения неравного e_k .

Очевидно, что в каждом ${}^n_z S$ - геометрическом СС два ограничительных инверсных события. Возникает вопрос – можно ли заменить геометрический поиск $G(i2)$ в $[F(0.5)]$ лучевым (однаправленным) поиском $B(i2)$, рис.1, «Алгоритм $B(i2)$ »? Компьютерные эксперименты показывают, что работа поисковых алгоритмов $B(i2)$ и $G(i2)$ (рис. 1) даёт одно и то же распределение, таблица 1, строки: « $B(i2)_3$ » и « $B(i2)_T$ $G(i2)_T$ ».

Описание алгоритма однонаправленного поиска $B(i2)$. Определяем значение стартового события e_k в произвольной позиции k и считаем число смежных, одинаковых членов $F(0.5)$ за e_k (их величины e равны величине стартового события e_k), рис.1. После обнаружения первой величины i не равной величине e_k (i - инверсная для e_k величина), повторим поиск со следующего события после i , до обнаружения второго значения i , величина которого не равна величине стартового события e_k . Значения i не включены в длины СС.

На рис. 1 три раза показан один и тот же фрагмент $[F(0.5)]$, который в системе координат (k, t) при поиске алгоритмами $B(i1)$ и $B(i2)$, имеет вид: «0001001», а при поиске алгоритмом $G(i2)$ в системе координат $(k \pm)$ воспринимается в виде: «1000001». То есть, вид фрагмента $[F(0.5)]$ зависит от системы координат и алгоритма набора элементарных событий (эл).

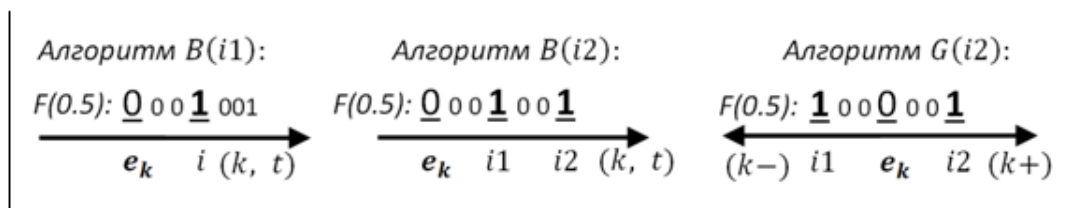


Рис. 1. «Системы координат и алгоритмы набора данных»

«Комбинаторика длинных последовательностей» - КДП показала, что структура СБП - $F(0.5)$, зависит от применённого поискового алгоритма - ПА для отбора её элементарных членов (эл). В КДП даны формулы для расчёта числа бинарных составных событий (СС) при классическом распределении [1-5], ПА: $B(i1)$, ф.1.1 и геометрическом распределении [5-7], ПА: $G(i2)$, ф.1.2. Причём обе эти формулы

(ф.1.1 и ф.1.2) получены из ф.2.1 путём установки в ф.2.1 параметров поиска $B(i1)$ и $B(i2) = G(i2)$. То есть, ф.2.1 является обобщающей формулой расчёта СС для ПА: $B(i)$ и $G(i)$:

$${}^L S = S_{Alg} \cdot {}^L f = S_{Alg} \cdot \frac{\prod_{i=0}^{(i-2)} (L+i)}{2^{(L+i-1)} \cdot (i-1)!} \quad \text{Ф.2.1}$$

Где: S_{Alg} – общее число составных событий (СС) всех длин, зависит от применённого алгоритма считывания членов СБП, может быть как числом всех СС фрагмента [F(0.5)], так и числом зондирований СБП, см. ф.2.3; ${}^L f$ – описан в ф.2.2; \prod – оператор умножения; i – число пространственных направлений поиска (которые заканчиваются инверсным элом, не равным элу внедрения); L – число последовательных эл (элементарных членов) СС с одинаковыми значениями (либо все «0», либо все «1»).

Исключим зависимость ф.2.1 от числа измерений S_{Alg} , путём приравнивания S_{Alg} к единице, получим ф.2.2:

$${}^L f = \frac{\prod_{i=0}^{(i-2)} (L+i)}{2^{(L+i-1)} \cdot (i-1)!} \quad \text{Ф.2.2}$$

Где: ${}^L f$ – частота встреч СС длины L и в i – мерном пространстве, или, что то же самое для геометрического СС, i – число ограничивающих элементарных событий на концах геометрического многомерного СС.

Для S_{Alg} – суммы всех СС из ф.2.1, запишем формально формулу ф.2.3:

$$S_{Alg} = f(Alg) \quad \text{Ф.2.3}$$

Где: Alg – алгоритм сбора (отбора) СБС членов из СБП.

Примеры расчёта распределения СС при работе $B(i1)$ и $B^\#(i1)$.

Рассчитаем для фрагмента СБП из N членов: $N = [F(0.5)]$ распределения СС, которые получаются при наборе его членов, алгоритмами: $B^\#(i1)$; $B(i1)$.

При работе алгоритма $B^\#(i1)$ наблюдатель видит структуру СБП, которую описывает ф.1.1, $B^\#(i1)$ [1- 4], $B^\#(i1)$ учитывает каждый член СБП (все N членов), нет пропускаемых (не учитываемых) членов в $N = [F(0.5)]$. Отличие $B^\#(i1)$ от $B(i1)$ в том, что в $B^\#(i1)$ инверсные события i входят в следующее СС (i – является первым членом для следующего СС в $B^\#(i1)$), а в $B(i1)$ выбрасываются. Поэтому число СС в $N = [F(0.5)]$ при работе $B^\#(i1)$ надо рассчитывать из полного числа N членов СБП. Так как при работе $B^\#(i1)$ средняя длина СС [1-4] равна: $L_{sr} = \frac{N}{2}$, то

$S_{Alg}^\#$ – общее число СС из в ф.2.3, входящих множителем в ф.2.1, равно: $S_{Alg}^\# = \frac{N}{L_{sr}} = \frac{N}{2}$.

В алгоритме $B(i1)$ инверсные события i не входят в СС, они отбрасываются, поэтому множитель в ф.2.1 равен: $S_{Alg} = \frac{N}{i+L_{sr}} = \frac{N}{1+2} = \frac{N}{3}$.

Для $B(i1)$ и $B^\#(i1)$ второй множитель ${}^L f$, в ф.2.1, является одним и тем же, он определён в ф.2.2. Подставив параметр $i = 1$, в ф.2.2, получим: ${}_{i=1}^L f = \frac{\prod_{i=0}^{(i-2)} (L+i)}{2^{(L+i-1)} \cdot (i-1)!} = \frac{\prod_{i=0}^{(1-2)} (L+1)}{2^{(L+1-1)} \cdot (1-1)!} = \frac{1}{2^L}$.

Поясним получение $\frac{1}{2^L}$. Так как нижнее, стартовое, значение оператора «П» равно нулю ($i = 0$), а верхнее равно минус одному: $i - 2 = 1 - 2 = -1$, то нарастающий перебор индексов в «П» не возможен и

цикл умножения «П» не производится. В этой ситуации, по аналогии с нулевым факториалом, значение оператора «П»: $\prod_{i=0}^{(1-2)} = 1$.

Перемножив оба сомножителя ф.2.1 получим формулы распределений СС в СБП (для наблюдателя по разному выглядят распределения СС в СБП полученные при работе алгоритмов $B(i1)$ и $B^\#(i1)$):

$${}_{i=1}^L S(B^\#(i1)) = S_{B^\#(i1)} \cdot {}^L f = \frac{N}{2} \cdot \frac{1}{2^L} = \frac{N}{2^{L+1}}; \text{ где: } N = [F(0.5)];$$

$${}_{i=1}^L S(B(i1)) = S_{B(i1)} \cdot {}^L f = \frac{N}{3} \cdot \frac{1}{2^L}; \text{ где: } N = [F(0.5)].$$

Для проверки распределения ${}_{i=1}^L S(B(i1))$ возьмём из таблицы 1 сумму $S_{B(i1)}$, и подставим её в ф-лу: ${}_{i=1}^L S(B(i1)) = S_{B(i1)} \cdot {}^L f = 6665607 \cdot \frac{1}{2^L}$, для $L > 0$, рассчитанные значения хорошо

совпадают со значениями ряда: $B(i1)$, таблица 1, причём при $L = 0$ получим: ${}_{i=1}^{L=0} S(B(i1)) = S_{B(i1)} \cdot \frac{1}{2^{L=0}} = 6665607$.

Мы получили ф.2.1-ф.2.3 для двух простых алгоритмов: $B^\#(i1)$ и $B(i1)$, заметим, что $B^\#(i1)$ и $B(i1)$ работают в неполном одномерном пространстве, так как они не обладают возможностью двунаправленной работы вдоль оси (k, t) , рис.1. Размерность оси координат, на которой они работают, равна одной второй: 1/2, фактически это лучевое пространство $1i$. Алгоритмом, использующим два направления в одномерном пространстве, является «Алгоритм $G(i2)$ », рис.1. Распределение СС при работе $G(i2)$ дано в таблице 1, в объединённой строке: « $B(i2)_T$ $G(i2)_T$ ».

Таблица 1. «Составные события и их распределение ${}^L S$ по длинам L »

Алг-м	L=1	L=2	L=3	L=4	L=5	L=6	L=7	L=8	L=9	...	S_{Alg}
$B(i1)_\exists$	3331138	1667325	833750	416405	208612	104462	51797	25842	13259	...	6665607
$B(i2)_\exists$	1000904	998995	750848	499083	312751	187470	109650	62729	35004	...	4000251
$B(i2)_T$ $G(i2)_T$	1000000	1000000	750000	500000	312500	187500	109375	62500	35156	...	4000000
«Э» - эксперимент. «Т» - теория. «Алг-м» - алгоритмы: « $B(1i)$ » - Btn314; « $B(2i)$ » - Btn309; i - число инверсных событий в алгоритме.											

Составные события - расчёт численности по ф.2.1- ф.2.3 при работе $G(i2)$

Алгоритм $G(i2)$, описан выше и в [1;2;5;6], он ищет распределение геометрических СС. Средняя длина СС для наблюдателя, который использует $G(i2)$ для изучения структуры СБП, равна: $L_{sr} = 3$. Но $G(i2)$ – это тот самый случай, когда удобнее считать число зондирований СБП (S_{Alg}), а не N - число членов СБП, хотя ф.1.2 построена с опорой на N , и: $S_{Alg} = N/k$.

Для $G(i2)$ первый множитель в ф.2.1: $S_{Alg} = N/k$. Получим формулу для второго множителя ${}_{i=2}^L f$, учитывая, что $i = 2$: ${}_{i=2}^L f = \frac{\prod_{i=0}^{(i-2)}(L+i)}{2^{(L+i-1)} \cdot (i-1)!} = \frac{\prod_{i=0}^{(i=0)}(L+0)}{2^{(L+2-1)} \cdot (2-1)!} = \frac{L+0}{2^{L+1}} = \frac{L}{2^{L+1}}$. Поясним работу оператора перемножения «П». Так как нижнее, стартовое, значение оператора «П» равно нулю ($i = 0$), а верхнее, конечное значение оператора «П» то же равно нулю ($i - 2 = 0$), то оператор будет выполнен один раз со значением $i = 0$, при этом результат равен: $\prod_{i=0}^{(i=0)}(L+0) = L$.

Перемножим коэффициенты и получим ф.1.2: $i=2^L S = S_{Alg} \cdot Lf = \frac{N}{k} \cdot \frac{L}{2^{L+1}}$, где L это n в ф.1.2 (смотри вид формулы ф.1.2).

Алгоритм $B(i2)$ - эквивалентен $G(i2)$

В таблице 1, в строке: « $B(i2)_T G(i2)_T$ », даны теоретические численности СС найденные по алгоритму $G(i2)$ и по алгоритму $B(i2)$, они одинаковы для обоих алгоритмов. Алгоритм $B(i2)$ имитирует на однонаправленной оси (рисунок 1, «Алгоритм $B(i2)$ ») числовое распределение СС получаемое при работе «Алгоритма $G(i2)$ », рис. 1, в полном одномерном пространстве, в котором для $G(i2)$, доступны два направления перемещения (влево и вправо). Для имитации оказалось достаточно найти два последовательно расположенных СС, ограниченных инверсными элами. Инверсные элы в алгоритме $B(i2)$, для большего сходства в работе, то же не учитываются (выбрасываются), как и в $G(i2)$. Замечаем, что одно ограничивающее элементарное событие (эл), на одном из концов СС, при работе $G(i2)$, всегда связано с направлением луча от центра СС к этому ограничивающему событию (элу). Таким образом, число ограничивающих событий, в СС n -мерного пространства, всегда равно числу лучей идущих от начала координат в этом n -мерном пространстве. Очевидно, что на одну пространственную ось n -мерного пространства приходится два противоположно направленных луча выходящих из центра координат.

Алгоритм $B(i2)$ создан для имитации в пространстве меньшей размерности - $1i$, работы алгоритма $G(i2)$, рис.1. Алгоритм $G(i2)$ работает в пространстве размерностью - $2i$ (от события внедрения e_k доступны два направления « $k-$ » и « $k+$ », рис.1). Алгоритм $B(i2)$ работает в пространстве с размерностью $1i$ (лучевое пространство « k, t », рис.1), где нет возможности просмотра ранее выпавших элементарных событий, что равноценно запрету перемещения во времени назад (точно так, как в нашем мире нам недоступно перемещение во времени назад, а так же «прыжки» в будущее).

Логично предположить, что для точки в любого многомерного пространства имеется его лучевая модель « $B(2n)$ », аналогичная алгоритму « $B(i2)$ », рис.1. Число инверсных событий: $i1; i2; i3; \dots; in$ в такой модели равна удвоенному числу лучей образующих измерения n -мерного пространства. Каждая ось пространственной системы координат имеет два i – луча (положительное и отрицательное направление из точки 0). Модель нашего физического трёхмерного пространства – времени содержит семь i – лучей. Шесть i - лучей получаются из 3-х мерного пространства: $6i = 2n = 2 \cdot 3$, и один луч – это однонаправленное время: $7i = 2n + i_T = 2 \cdot 3i + i_T$.

Длина $L(Sr(1i))$ серии Sr одномерного i – пространства связана с числом членов СС в n – мерном пространстве $(CC(L,n)) \rightarrow Sr(1i)$ по ф.3.1 (смотри рис.1, «Алгоритм $B(i2)$ » и «Алгоритм $G(i2)$ »):

$$L(Sr(1i)) = L_G + i(n) \quad \text{Ф.3.1}$$

Где; L_G - длина геометрического СС; n – стандартное число размерностей, для одномерного пространства: $n = 2i$.

В таблице 2 даны начала теоретических рядов распределений СС в i - мерных пространствах, рассчитанных по ф.2.1 для $S_{Alg} = 10^6$.

Таблица 2. «Начала рядов распределений iS в i - мерных пространствах»

L	i = 1	i = 2	i = 3	i = 4	i = 5	i = 6	i = 7	i = 8	i = 10	i = 20
1	500000	250000	125000	62500	31250	15625	7813	3906	977	1
2	250000	250000	187500	125000	78125	46875	27344	15625	4883	10
3	125000	187500	187500	156250	117188	82031	54688	35156	13428	50

4	62500	125000	156250	156250	136719	109375	82031	58594	26855	184
5	31250	78125	117188	136719	136719	123047	102539	80566	43640	528
6	15625	46875	82031	109375	123047	123047	112793	96680	61096	1267
...
$i=0S = 10^6$ - число составных событий (зондовых внедрений) в нульмерном пространстве.										

Как видно из таблицы 2, в каждом i – мерном пространстве (за исключением пространства li) равное число значений у двух длин: L_i и L_{i-1} . Закономерность нахождения этих двух длин, ф.3.2 (выводится из ф.2.1):

$$\begin{cases} L_i = i; \\ L_{i-1} = i - 1 = L_i - 1 \end{cases} \quad \text{Ф.3.2}$$

Получение формул из ф.2.1 для расчёта значений таблицы 2, при $S_{Alg} = 10^6$.

Распределение $i=4S$ для двумерного n - пространства (плоскости):

$$i=4S = S_{Alg} \cdot \frac{\prod_{i=0}^{(imax=4-2)}(L+i)}{2^{(L+i-1)} \cdot (i-1)!} = S_{Alg} \cdot \frac{(L+0)(L+1)(L+2)}{2^{(L+4-1)} \cdot 1 \cdot 2 \cdot 3} = S_{Alg} \cdot \frac{L(L+1)(L+2)}{2^{(L+3)} \cdot 6};$$

при $L=5$: $i=4S = 10^6 \cdot \frac{5 \cdot 6 \cdot 7}{2^{(5+3)} \cdot 6} = 136718,75$ (см. таблицу 2).

Распределение $i=7S$ для пространства $n = 3.5$ (наш физический мир состоит из семи i – лучевых измерений ($i = 7$) - трёхмерное пространство ($i = 3 * 2 = 6$), плюс однонаправленный луч времени $i = 1$):

$$i=7S = S_{Alg} \cdot \frac{(L+0)(L+1)(L+2)(L+3)(L+4)(L+5)}{2^{(L+7-1)} \cdot 1 \cdot 2 \cdot 3 \cdot 5 \cdot 6},$$

при $L=5$: $i=7S = 10^6 \cdot \frac{5 \cdot 6 \cdot 7 \cdot 8 \cdot 9 \cdot 2 \cdot 10}{2^{(5+6)} \cdot 6!} = 102539$ (см. таблицу 2).

Распределение $i=8S$ для пространства $n = 4$ ($8i$ - при отождествлении с пространством – временем получаем: трёхмерное пространство ($i = 6$), плюс двунаправленное измерение времени ($i = 2$), в котором можно перемещаться как в пространстве), ф.2.1:

$$i=8S = 10^6 \cdot \frac{(L+0)(L+1)(L+2)(L+3)(L+4)(L+5)(L+6)}{2^{(L+8-1)} \cdot 1 \cdot 2 \cdot 3 \cdot 5 \cdot 6 \cdot 7} = 80566$$
 (см. таблицу 2).

Получаемые по ф.2.2 частотные распределения для iS (см. таблицу 2), при их обнаружении в каких либо пространственно – временных процессах, могут являться маркерами *размерности пространства* физического мира.

Обсуждение

Мы не рассмотрели правила перевода СС из n – мерных пространств в одномерные серии $Sr(i)$. Например, в трёхмерном пространстве XYZ есть СС у которого: «0»(0) – общее событие начала координат, «000»(+X) – часть СС находящаяся на положительной полуоси X, «0»(-X) – часть СС находящаяся на отрицательной полуоси X; «0»(+Y) – часть СС находящаяся на положительной полу оси Y, нет ни одного нуля «»(-Y) на отрицательной полуоси Y; нет ни одного нуля на положительной «»(+Z) и отрицательной «»(-Z) части оси Z. Возможны разные равноправные варианты сбора серий Sr в одномерном i - пространстве, которые сохраняют информацию о структуре n – мерного СС за счёт добавления в конец серий единиц «1». Приведём только три варианта сбора серий Sr : (0)+(X)+(-X)+(Y)+(-Y) + (+Z) + (-Z) → «0_0001_01_01_1_1_1»; (0) + (+X) + (+Y) + (+Z) + (-X) + (-Y) + (-Z) → «0_0001_01_1_01_1_1»; (-X) + (-Y) + (-Z) + (+X) + (+Y) + (+Z) + (0) → «01_1_1_0001_01_1_0» (полное число возможных вариантов Sr , сочетаний и перестановок, получим из школьной комбинаторики). С позиции, что все три серии это отображение одного и того же n – мерного СС в одномерном i – пространстве, можно написать эти условные равенства: «000010101111» = «000010110111» = «011100010110». Надо обратить особое внимание на Общее Событие Начала Координат (ОСНК - в нашем примере «0»), оно одно присутствует в каждом луче, но попадает в цепочку только одного СС. В

рассмотренном примере ОСНК подчёркнуто. Возможна модель, в которой ОСНК включена в СС каждого i – луча, интересно отметить, что если в такой модели воздействовать на ОСНК в одном из лучевых i – измерений, то во всех других i – измерениях информация об этом будет получена мгновенно (аналог квантовой запутанности).

Выводы

1) В рамках направления - «Комбинаторика длинных последовательностей», предложена производящая функция (ф.2.1, ф.2.2), из которой путём подстановки в неё числа элементарных событий ограничивающих i -мерное составное событие, получают формулы распределений по длинам составных событий в i -мерных пространствах.

2) Предложено разбивать классические n - мерные пространства, с n измерениями (каждое измерение обладает соответствующей ему осью) на i – мерные пространства, таким образом, что бы одно измерение n - мерного пространства состояло из двух i – мерных противоположно направленных лучевых направлений.

3) Существование i – мерных пространств равносильно существованию измерений дробной размерности у n - мерных пространств, кратность которой равна $n/2$ (одной второй n).

4) Процесс выпадений сторон монеты (как бинарный битовый поток) имеет в n – мерном пространстве, а именно в пространстве - времени, размерность одну вторую ($n/2$), а в i – мерном пространстве размерность потока событий реализации сторон монеты имеет целочисленную размерность, равную единице ($1i$).

5) Любое составное событие n – мерного пространства может быть представлено в i – мерном пространстве двойной размерности: $n = 2i$.

6) Любое составное событие длины L из n – мерного пространства ($CC(L,n)$) можно заменить последовательностью, серией Sr , в одномерном $1i$ – пространстве, то есть: $(CC(L,n)) \rightarrow Sr(1i)$, причём число членов серии в $1i$ – пространстве: $L(Sr(1i)) = L + 2n$.

7) Свойство независимых случайных последовательностей менять видимую наблюдателем их структуру, в зависимости от применённого наблюдателем способа набора данных, увязано с геометрическими свойствами физических пространств: i – размерностью пространства.

8) В рамках предлагаемой модели i – мерных пространств, квантовая запутанность может быть объяснена комбинаторно, средствами КДП, как общая точка i – мерных составных событий.

Список литературы / References

1. Филатов О.В., Филатов И.О., Макеева Л.Л. и др. «Потоковая теория: из сайта в книгу», Москва, «Век информации», 2014, с. 200.
2. Филатов О.В., Филатов И.О. «Закономерность в выпадении монет – закон потоковой последовательности». Германия, Издательский Дом: LAPLAMBERT Academic Publishing, 2015, с. 268.
3. Филатов О.В., Филатов И.О., статья «О закономерностях структуры бинарной последовательности», «Журнал научных публикаций аспирантов и докторантов», 2014, №5 (95), с. 226–233.
4. Филатов О.В., статья «Теорема «О амплитудно-частотной характеристике идеальной бинарной случайной последовательности», «Проблемы современной науки и образования», 2015 г., № 1 (31), с. 5–11, DOI: 10.20861/2304-2338-2014-31-001.
5. Филатов О.В., статья «Описание схем управления вероятностью выпадения независимых составных событий», «Проблемы современной науки и образования», 2016 г., № 2 (44), с. 52 – 60, DOI: 10.20861/2304-2338-2016-44-001.
6. Филатов О.В., статья «Применение геометрической вероятности для изменения вероятности нахождения серий случайных выпадений монеты», «Проблемы современной науки и образования», 2016 г., № 22 (64). с. 5-14, DOI: 10.20861/2304-2338-2016-64-001.

7. *Филатов О.В.*, статья «Частотные и вероятностные свойства случайных бинарных последовательностей. Бинарная геометрическая вероятность», «Проблемы современной науки и образования», №1(134), 2019 г., с.6-19, DOI: 10.20861/2304-2338-2019-134-004.